

# Оценки на сложность вычисления некоторых булевых функций и формул де Моргана

Арсентьев Арсений

Март 2022

## Содержание

<b>1</b>	<b>Введение</b>	<b>1</b>
<b>2</b>	<b>Нижняя оценка для симметричных функций</b>	<b>2</b>
<b>3</b>	<b>Оценки для схем в полном бинарном базисе</b>	<b>3</b>
3.1	Точная оценка для $MOD_2^n$ . . . . .	3
3.2	Верхняя оценка для $MOD_3^n$ . . . . .	4
3.3	Верхняя оценка для $MOD_4^n$ . . . . .	5
3.4	Верхняя оценка для $MAJ^n$ . . . . .	6
<b>4</b>	<b>Оценки для формул де Моргана</b>	<b>6</b>
4.1	Верхняя оценка для $MOD_2^n$ . . . . .	7
4.2	Верхняя оценка для $MOD_3^n$ . . . . .	7
4.3	Верхняя оценка для $MOD_4^n$ . . . . .	7
<b>5</b>	<b>Оценка на сложность коммуникационной игры</b>	<b>8</b>
<b>6</b>	<b>Идеи по улучшению методов поиска оценок</b>	<b>9</b>

# 1 Введение

В данной работе представлены сильные оценки на сложность вычисления и коммуникационную сложность игры для некоторых булевых функций. Все блоки, необходимые для создания итоговых схем, найдены SAT-солвером и протестированы с помощью программы на языке Python на всех возможных входных комбинациях. В последнем разделе приведены некоторые из моих идей по улучшению методов поиска схем SAT-солверами.

**Определение 1.** *Совершенная дизъюнктивная нормальная форма (СДНФ) - это представление булевой функции, в котором:*

- Нет одинаковых кловов.
- В каждом клове нет повторяющихся переменных.
- Каждый клов содержит все переменные, от которых зависит булева функция (каждая переменная может входить в клов либо в прямой, либо в инверсной форме).
- Переменные соединены конъюнкцией, кловы - дизъюнкцией.

**Определение 2.**  $size_{B_2}(f)$  - это размер (сложность вычисления) схемы булевой функции  $f$  в полном бинарном базисе.

**Определение 3.**  $Fsize(f)$  - это размер (сложность вычисления) формулы де Моргана для булевой функции  $f$ .

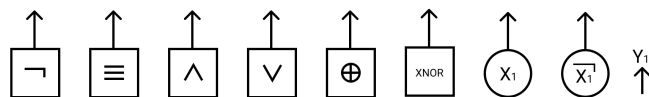


Рис. 1: Обозначения гейтов, входов и выходов.

## 2 Нижняя оценка для симметричных функций

**Теорема 1.** *Для любой симметричной булевой функции  $f$  справедлива оценка:*

$$size(f) \geq n - 1$$

*Доказательство.* В симметричных булевых функциях нет фиктивных параметров, следовательно при представлении в виде схемы, получается связный граф (так как каждый вход соединяется хотя бы с 1 гейтом). Связный подграф, подвешенный за одну из вершин (в данном случае за выход схемы), и имеющий минимально возможное количество рёбер, является деревом. Так как входная степень каждого гейта равна 2, а исходящая равна 1, то дерево является бинарным и полным. В полном бинарном дереве количество внутренних вершин на единицу меньше количества листьев, следовательно для реализации любой симметричной булевой функции понадобится минимум  $n - 1$  гейт.

*Примечание.* Данная оценка справедлива и для формул де Моргана, так как формула де Моргана является бинарным деревом.

### 3 Оценки для схем в полном бинарном базисе

#### 3.1 Точная оценка для $MOD_2^n$

**Теорема 2.**  $size_{B_2}(MOD_2^n) = n - 1$

*Доказательство.* Заметим, что бинарная операция  $\oplus$  является функцией  $\neg(MOD_2^2)$ .

Из ассоциативности  $\oplus$  следует, что функция  $\neg(MOD_2^n)$  может быть реализована последовательным использованием оператора  $\oplus$  над входами схемы, тогда:

$$MOD_2^n = \neg \left( \bigoplus_{i=1}^n x_i \right)$$

Заменим один из операторов  $XOR$  на  $XNOR$ , для осуществления отрицания, тогда сложность вычисления  $MOD_2^n$  будет меньше либо равна  $n - 1$ .

$size_{B_2}(MOD_m^n) \geq n - 1$  (см. раздел 2), следовательно  $(n - 1)$  - точная оценка сложности вычисления функции  $MOD_2^n$ .

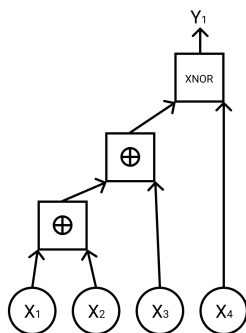
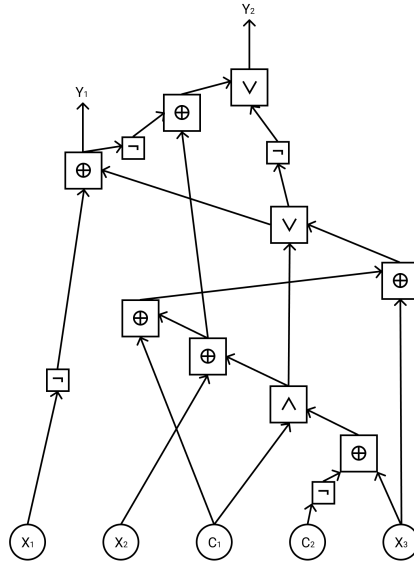


Рис. 2: Схема для  $MOD_2^4$ .

### 3.2 Верхняя оценка для $MOD_3^n$

**Теорема 3.**  $size_{B_2}(MOD_3^n) \leq 3n + \Theta(1)$

*Доказательство.* Рассмотрим следующую схему, вычисляющую  $MOD_3^3$ :



В ней:

- $x_1, x_2, x_3$  - входы.
- $c_1, c_2$  - входы, представляющие собой  $(\sum_{i=1}^n x_i) \bmod 3$ .
- $y_1, y_2$  - выходы, кодирующие  $(\sum_{i=1}^{n+3} x_i) \bmod 3$ .

Соединением схем  $MOD_3^3$  можно получить схему, состоящую из  $n/3$  блоков размера 9, вычисляющую  $MOD_3^n$ , следовательно размер схемы  $MOD_3^n$  меньше либо равен  $3n + \Theta(1)$ .

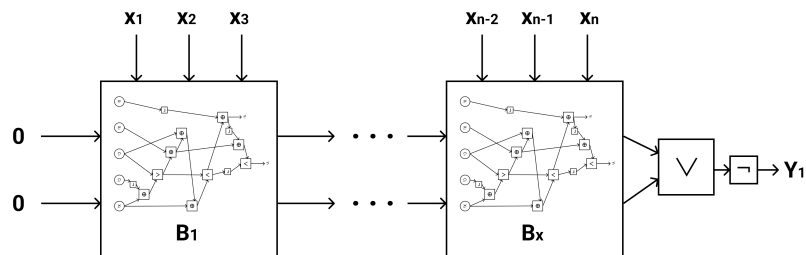
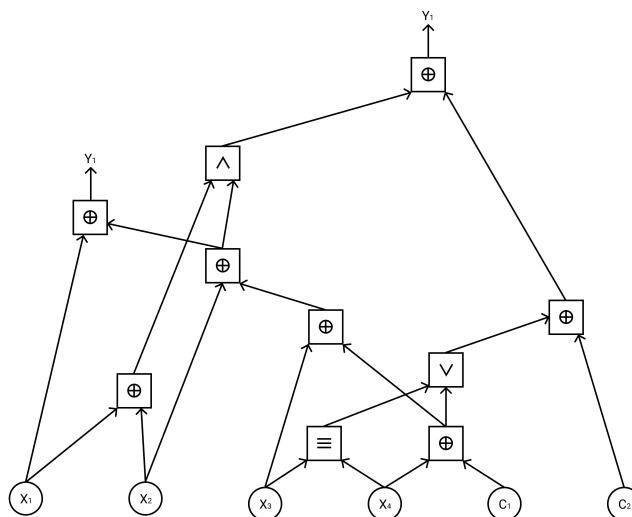


Рис. 3: Пример схемы для  $MOD_3^n$

### 3.3 Верхняя оценка для $MOD_4^n$

**Теорема 4.**  $size_{B_2}(MOD_4^n) \leq 2.5n + \Theta(1)$

*Доказательство.* Рассмотрим следующую схему, вычисляющую  $MOD_4^4$ :



В ней:

- $x_1, x_2, x_3, x_4$  - ВХОДЫ.
- $c_1, c_2$  - входы, представляющие собой  $(\sum_{i=1}^n x_i) \bmod 4$ .
- $y_1, y_2$  - выходы, кодирующие  $(\sum_{i=1}^{n+4} x_i) \bmod 4$ .

Соединением схем  $MOD_4^4$  можно получить схему, состоящую из  $n/4$  блоков размера 10, вычисляющую  $MOD_4^n$ , следовательно размер схемы  $MOD_4^n$  меньше либо равен  $2.5n + \Theta(1)$ .

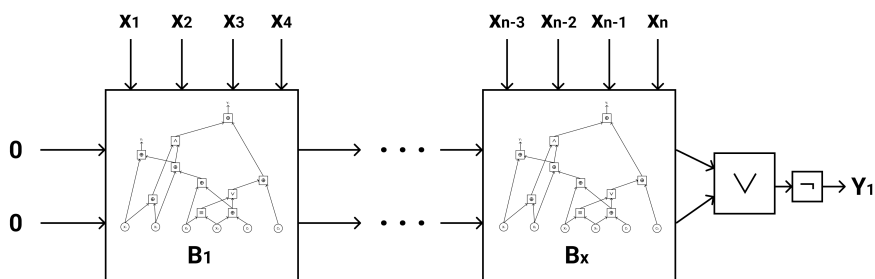


Рис. 4: Пример схемы для  $MOD_4^n$



## 4.1 Верхняя оценка для $MOD_2^n$

**Теорема 7.**  $Fsize(MOD_2^n) \leq (n+1)2^{n-1} - 1$

*Доказательство.* Всего существует  $2^n$  входных наборов для булевой функции с  $n$  входами, из них ровно на  $\frac{2^n}{2}$  наборах результатом  $MOD_2^n$  будет 1. Следовательно всего будет  $2^{n-1}$  клоз СДНФ, каждый из которых будет состоять из  $n$  конъюнкций. Клозы связаны  $2^{n-1} - 1$  дизъюнкциями. Итоговое количество гейтов формулы, построенной на основе такой СДНФ, будет составлять  $(n+1)2^{n-1} - 1$ .

## 4.2 Верхняя оценка для $MOD_3^n$

**Теорема 8.**  $Fsize(MOD_3^n) \leq (n+1)\lfloor \frac{2^n}{3} \rfloor - 1$

*Доказательство.* Всего существует  $2^n$  входных наборов для булевой функции с  $n$  входами, из них ровно на  $\lfloor \frac{2^n}{3} \rfloor$  наборах результатом  $MOD_3^n$  будет 1. Следовательно всего будет  $\lfloor \frac{2^n}{3} \rfloor$  клоз СДНФ, каждый из которых будет состоять из  $n$  конъюнкций. Клозы связаны  $\lfloor \frac{2^n}{3} \rfloor - 1$  дизъюнкциями. Итоговое количество гейтов формулы, построенной на основе такой СДНФ, будет составлять  $(n+1)\lfloor \frac{2^n}{3} \rfloor - 1$ .

## 4.3 Верхняя оценка для $MOD_4^n$

**Теорема 9.**  $Fsize(MOD_4^n) \leq (n+1)2^{n-2} - 1$

*Доказательство.* Всего существует  $2^n$  входных наборов для булевой функции с  $n$  входами, из них ровно на  $\frac{2^n}{4}$  наборах результатом  $MOD_4^n$  будет 1. Следовательно всего будет  $2^{n-2}$  клоз СДНФ, каждый из которых будет состоять из  $n$  конъюнкций. Клозы связаны  $2^{n-2} - 1$  дизъюнкциями. Итоговое количество гейтов формулы, построенной на основе такой СДНФ, будет составлять  $(n+1)2^{n-2} - 1$ .



## 5 Оценка на сложность коммуникационной игры

**Теорема 10.** Для любой симметричной булевой функции сложность коммуникационной игры не больше  $\log_2^2(n) - \log_2(n)$ .

*Доказательство.* Пусть  $f$  - симметричная булева функция,  $A$  - строка Алисы,  $B$  - строка Боба,  $A \in f^{-1}(1), B \in f^{-1}(0)$ .  $a_1, a_2, \dots, a_n$  и  $b_1, b_2, \dots, b_n$  - биты соответствующих строк.  $\sum_{i=1}^n a_i \neq \sum_{i=1}^n b_i$ , так как симметричные булевы функции не могут выдавать различные значения при одинаковой сумме входного набора.

Реализуем протокол на основе бинарного поиска: Алиса отправляет Бобу сумму битов одной половины диапазона поиска (изначально диапазон поиска равен  $A$ ), Боб сравнивает эту сумму с суммой соответствующего диапазона своей строки и отправляет 0, если она различается, 1 - если нет. Затем Алиса, исходя из ответа Боба, сужает диапазон поиска вдвое. Этот алгоритм повторится  $\log_2(n)$  раз, так как каждый раз диапазон поиска сужается вдвое. У Алисы уйдёт не более  $\log_2(\frac{n}{2})$  бит на кодирование и отправку каждой суммы, потому что половина диапазона поиска не может быть меньше  $\frac{n}{2}$ . Следовательно итоговая сложность протокола будет не больше  $\log_2(n) \cdot \log_2(\frac{n}{2}) = \log_2^2(n) - \log_2(n)$ .

```
1 def Alice():
2     l = 0
3     r = n + 1
4     while r - l > 1:
5         s = 0
6         m = (l + r) // 2
7         for i in range(l + 1, m + 1):
8             s += A[i]
9         if Bob(l + 1, m + 1, s):
10             l = m
11         else:
12             r = m
```

Листинг 1: Псевдокод действий Алисы

```

1 def Bob(l, r, s):
2     sm = 0
3     for i in range(l, r):
4         sm += B[i]
5     return sm == s

```

Листинг 2: Псевдокод действий Боба

## 6 Идеи по улучшению методов поиска оценок

В данном проекте особый интерес для меня представляют программные методы поиска верхних оценок функций или блоков, которые помогут эти оценки улучшить. Из-за огромного поля поиска, уже при 25 входах, ни один современный суперкомпьютер не может перебрать все возможные схемы (за разумное время), поэтому я считаю, что необходимо найти новые пути оптимизации процесса поиска схем SAT-солверами. Для достижения приемлемой вычислительной скорости можно воспользоваться следующей эвристикой: использовать модель машинного обучения, для предсказания наиболее рациональной структуры схем из определённого класса булевых функций. Модели машинного обучения используются в задачах, где важно быстро распознавать паттерны, симметричные булевы функции как раз имеют множество закономерностей, поэтому интеграция ML-моделей может улучшить производительность SAT-солверов в задаче поиска оптимальных схем из функциональных элементов.